

4. Чекмарев А.П. Анализ процесса прокатки по данным распределения контактных напряжений / А.П.Чекмарев, П.Л.Клименко // Теоретические проблемы прокатного производства. Теория прокатки: Всесоюзн. науч.-техн. конф., 1975 г.: материалы / под ред. А.П.Чекмарева. – М.: Металлургия, 1975. – С.33-37.
5. Клименко П.Л. Контактное напряжение при прокатке с технологической смазкой / П.Л.Клименко // Сучасні проблеми металургії. Наукові вісті. Т. 8. Пластична деформація металів. – Дніпропетровськ: Сучасні технології. – 2005. – С.44-49.

*Поступила в редакцию 18.12.2017.*

УДК.621.771.01

МАКСИМЕНКО О.П., д.т.н., профессор  
ЛОБОЙКО Д.И., зав. лабораторией  
МАРЧЕНКО К.К., аспирант  
ПУСТОВА С.Ю., магистр

Днепровский государственный технический университет, г. Каменское

## **ТЕОРЕТИЧЕСКОЕ ИССЛЕДОВАНИЕ ПРОЦЕССА ПРОКАТКИ В КОМПЛЕКСЕ ПРИВОДНЫХ И НЕПРИВОДНОЙ КЛЕТЕЙ**

**Введение.** В работах [1-3] опубликованы результаты исследования процесса прокатки в блоке клетей, включающем неприводную. Такой процесс обеспечивается запасом сил трения в смежных приводных клетях. В указанных исследованиях дана оценка энергоэффективности процесса в комплексе с неприводной клетью, а также проанализировано влияние трения в опорах холостых валков на энергосиловые параметры. При непрерывной прокатке с натяжением или подпором полосы важно обеспечить продольную устойчивость металла, чтобы предотвратить возможные случаи частичной или полной пробуксовки его в валках.

**Постановка задачи.** В связи с этим, целью данного исследования является выполнение теоретического анализа процесса прокатки в комплексе, состоящем из трех клетей, средняя из которых является неприводной.

**Результаты работы.** Продольную устойчивость полосы в валках каждой клети оценивали по величине и направлению действия средней результирующей  $Q_{cr.pr}^*$  внутренних горизонтальных сил пластиически деформируемого металла. Методика определения силы  $Q_{cr.pr}^*$  приведена в публикациях [4-6]. Заметим, что эта результирующая является силой сопротивления, реакцией на действие контактных напряжений и поэтому активную роль в процессе деформации полосы играть не может. В связи с отмеченным, прокатка металла в очаге деформации будет устойчивой, если  $Q_{cr.pr}^* < 0$ .

При  $Q_{cr.pr}^* = 0$  процесс совершается в предельных условиях. В случае, если эта сила направлена по движению полосы, процесс невозможен.

Теоретический анализ проводили на примере прокатки в первых трех клетях черновой группы среднесортного стана 400/200 ДМКД. Предположим, что средняя клеть этого комплекса является неприводной. Границные условия при сравнении затрат энергии в случае обычной прокатки и с применением неприводной клети были одинаковыми, т.е.  $q_{01_n} = q_{01_n}$  и  $q_{13_n} = q_{13_n}$ .

$$q_{01_h} = \frac{\sigma_{01_h}}{2k_{cp_1}}; q_{01_n} = \frac{\sigma_{01_n}}{2k_{cp_1}}; q_{13_h} = \frac{\sigma_{13_h}}{2k_{cp_3}}; q_{13_n} = \frac{\sigma_{13_n}}{2k_{cp_3}}, \quad (1)$$

где  $\sigma_{01_h}$  и  $\sigma_{01_n}$  – заднее удельное натяжение в первой клети при наличии в комплексе неприводной клети и при прокатке в обычных условиях;  
 $\sigma_{13_h}$  и  $\sigma_{13_n}$  – переднее удельное натяжение в третьей клети в обоих случаях прокатки;  
 $2k_{cp}$  – среднее сопротивление деформации металла.

Геометрические параметры деформации приведены в табл.1.

Таблица 1 – Геометрические параметры прокатки

Номер клети	Толщина полосы, мм		Абсолютное обжатие $\Delta h$ , мм	Радиус валков $R$ , мм	Угол захвата $\alpha$ , рад	$\frac{l_d}{h_{cp}}$	Ширина полосы, мм		
	$h_0$	$h_1$					$b_0$	$b_1$	$b_{cp}$
1	160	111,5	48,5	325	0,3863	0,92	160	172,5	~166
2	172,5	123	49,5	325	0,3903	0,86	111,5	126	~119
3	126	80	46	325	0,3762	1,19	123	136	~130

Методика оценки продольной устойчивости основана на численном решении уравнения Т.Кармана при режиме трения в виде модели Кулона (могут быть и другие).

В результате получены эпюры контактного давления  $\frac{p_x}{2k_{cp}}$  и удельных сил трения

$\frac{t_x}{2k_{cp}}$ . Далее из уравнения пластичности находили распределение продольных нормальных напряжений  $\frac{\sigma_x}{2k_{cp}}$ . Умножая это напряжение на текущую площадь поперечного сечения полосы, определяли продольную силу  $Q_{xnp}$  (в безразмерной форме

$Q_{xnp}^* = \frac{Q_{xnp}}{2k_{cp} R b_{cp}}$ ) и рассчитывали её результирующее среднеинтегральное по очагу деформации значение:

$$Q_{cp,np.} = \frac{1}{l_d} \int_0^\alpha Q_{xnp} R d\varphi \quad (2)$$

или в безразмерной форме

$$Q_{cp,np.}^* = \frac{1}{l_d} \int_0^\alpha Q_{xnp}^* R d\varphi. \quad (3)$$

В расчетах принимаем, что момент прокатки в очаге деформации неприводной клети равен нулю ( $M_h = 0$ ), а коэффициенты трения в установившемся режиме в приводных клетях равны  $f_{y_n} = 0,35$ , в неприводной –  $f_{y_h} = 0,3$ . Результаты вычисления приведены на рис.1-3, сплошными линиями показаны эпюры в случае прокатки во всех приводных клетях, штриховыми – когда средняя клеть является неприводной. В табл.2

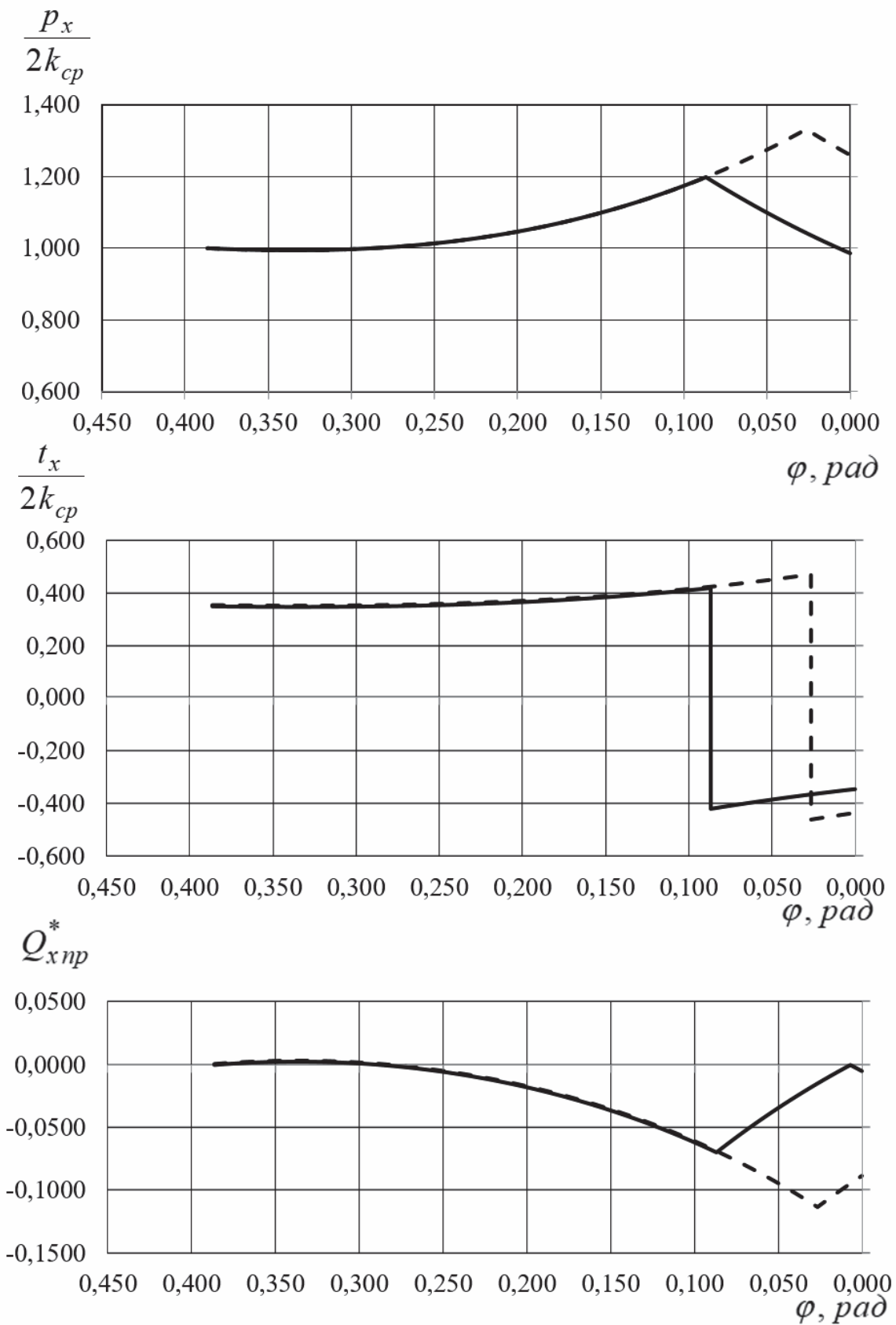


Рисунок 1 – Распределение контактных напряжений и текущих продольных сил при прокатке в первой клети

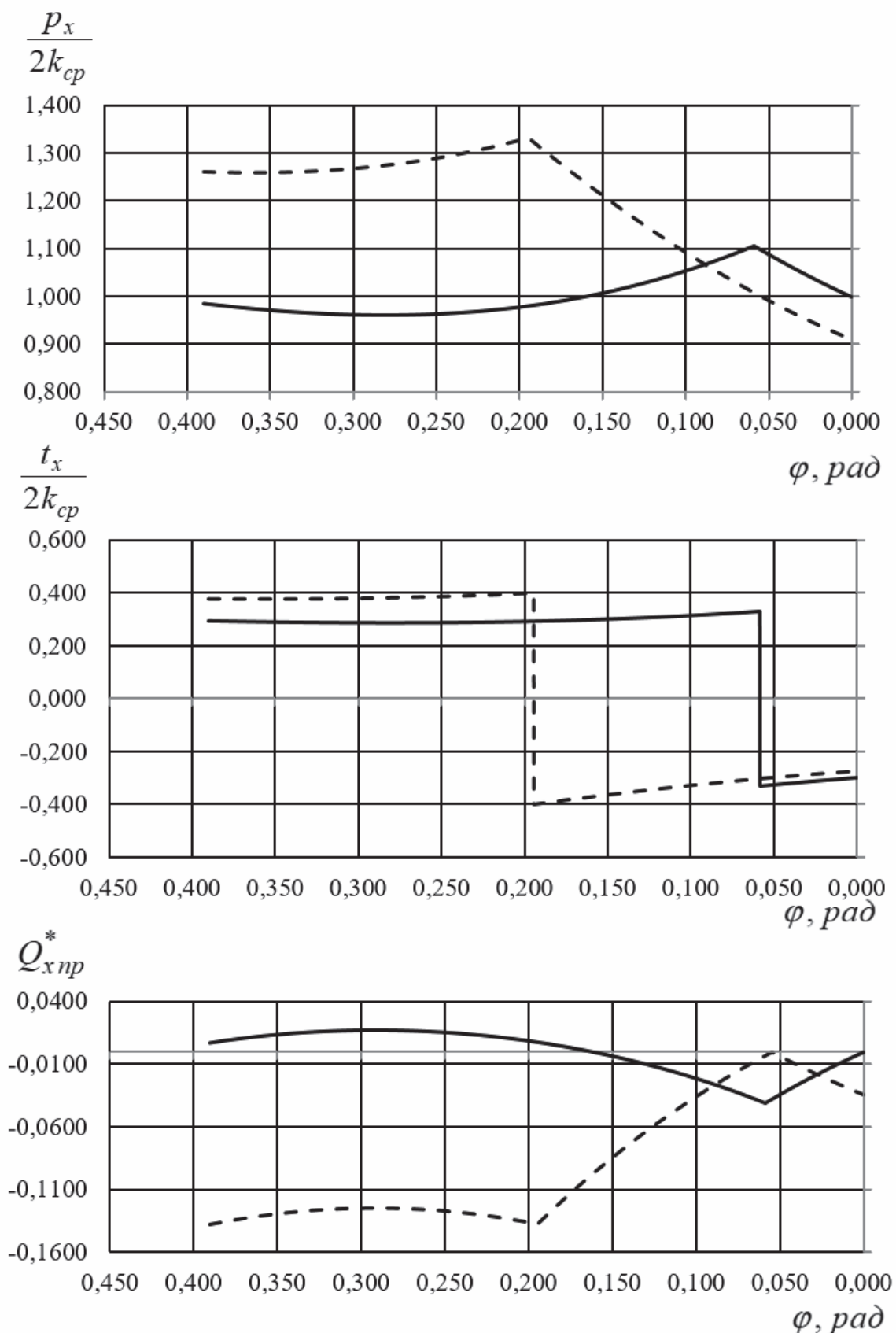


Рисунок 2 – Распределение контактных напряжений и текущих продольных сил при прокатке во второй клети

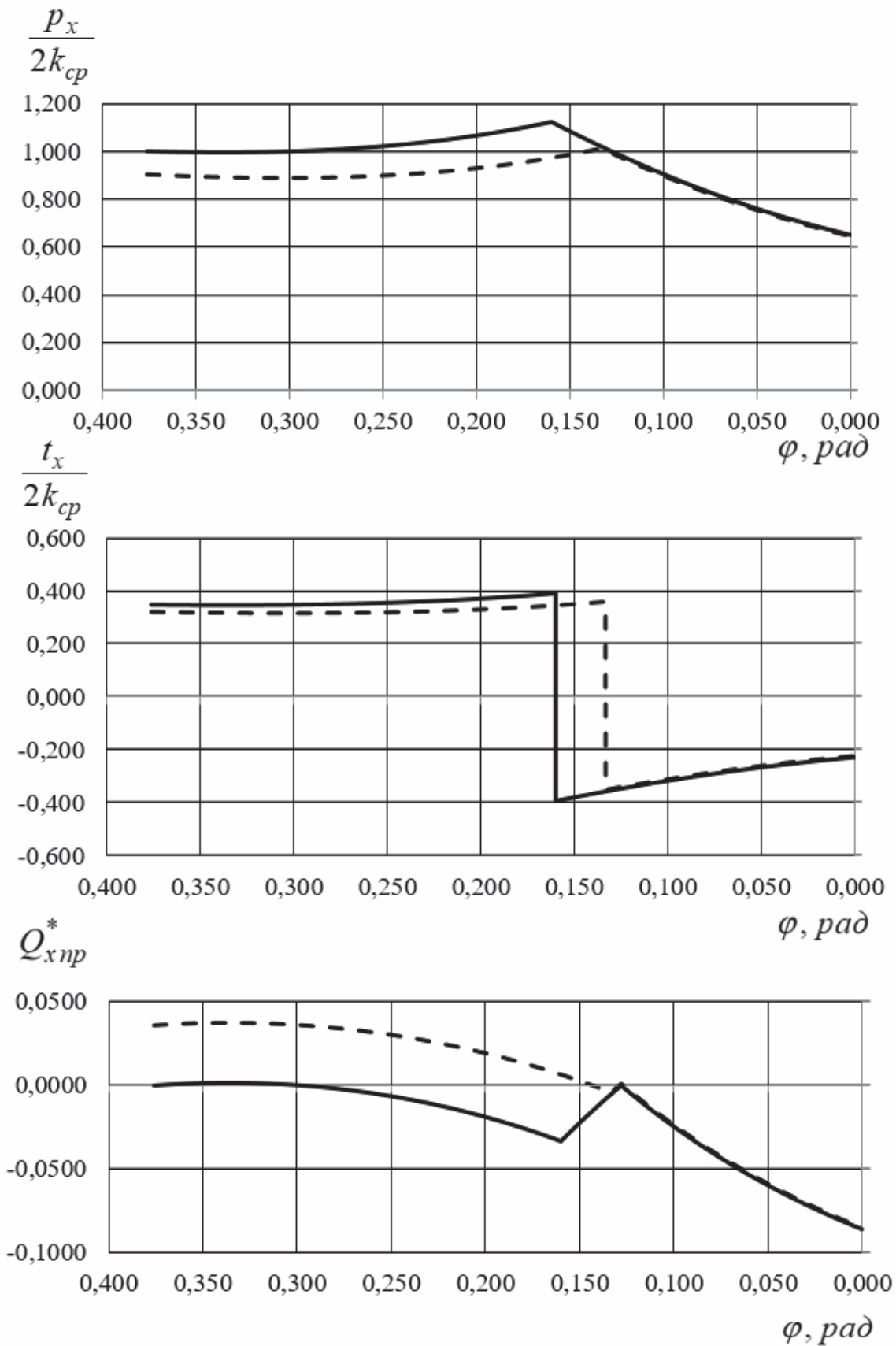


Рисунок 3 – Распределение контактных напряжений и текущих продольных сил при прокатке в третьей клети

приведены сведения, полученные на основе обработки указанных эпюр, из которой следует, что теоретически в обоих случаях прокатки процесс протекает устойчиво без частичных пробуксовок, т.к. в каждой клети  $Q_{cp,np}^* < 0$ . В обоих случаях деформации  $q_{01} = 0$ , а  $q_{13} = 0,35$ . В комплексе с одной неприводной клетью задний подпор составлял  $q_{02} = -0,26$ , а переднее натяжение  $q_{12} = 0,09$ . Прокатку во всех приводных клетях осуществляли с натяжением полосы. Моменты в очагах деформации рассчитывали, исходя из эпюр распределения удельных сил трения:

$$M = 2 \int_0^\alpha t_x R^2 b_{cp} d\varphi \quad (4)$$

или в безразмерной форме

$$M^* = \frac{M}{2k_{cp}R^2b_{cp}} = 2 \int_0^\alpha \frac{t_x}{2k_{cp}} d\varphi. \quad (5)$$

Таблица 2 – Напряжения, силы и моменты прокатки

№№ п/п	Параметры	Номер прокатной клети		
		I	II	III
1	$q_{0i}$	0/0	-0,26/0,014	0,09/0
2	$q_{1i}$	-0,26/0,014	0,09/0	0,35/0,35
3	$Q_{cp,np}^*$	-0,0341/-0,0199	-0,0895/-0,0001	-0,0004/-0,0223
4	$\frac{p_{cp}}{2k_{cp}}$	1,097/1,06	1,19/1,004	0,885/0,95
5	$M$	0,255/0,157	0/0,164	0,068/0,038
6	$\gamma, \text{рад}$	0,027/0,087	0,195/0,059	0,133/0,16
7	$f_{np}$ и $f_h$	0,35/0,35	0,3/0,3	0,35/0,35

Примечание:  $i$  – номер клети;  $\gamma$  – угол нейтрального сечения;

в числителе параметры комплекса клетей с одной неприводной;  
в знаменателе параметры в случае прокатки со всеми приводными клетями

Суммарный момент по трем приводным клетям составил  $\sum M_n^* = 0,359$ , а в комплексе со средней неприводной клетью –  $\sum M_H^* = 0,323$ . Как видно, суммарный момент в первом случае примерно на 7,2% больше, чем в комплексе со средней неприводной клетью. Очевидно, что, с точки зрения экономии энергозатрат, прокатка в указанном комплексе более эффективна, хотя при этом существенно возрастает загруженность первой клети, более чем в 1,6 раза. Такое соотношение в моментах, по-видимому, связано с перераспределением втягивающих сил трения в блоке с неприводной клетью.

Далее сравним моменты  $\sum M^*$  при разных коэффициентах трения в контакте металла с неприводными валками. Результаты расчетов приведены в табл. 3, из которой видно, что при  $f_h = 0,25$  суммарный момент по трем клетям  $\sum M^* = 0,252 + 0 + 0,034 = 0,286$  несколько меньше по сравнению с тем случаем, когда

## Прокатне виробництво

коэффициент трения  $f_H = 0,4$  ( $\sum M^* = 0,266 + 0 + 0,034 = 0,3$ ). Следует также отметить, что при большем коэффициенте трения в контакте неприводных валков с полосой продольная устойчивость металла в первой и второй клетях значительно выше, чем при  $f_H = 0,25$ .

Таблица 3 – Влияние коэффициента трения в очаге деформации неприводной клети на суммарный момент прокатки

№ п/п	Параметры	Прокатные клети		
		I	II	III
1	$q_{0i}$	0/0	-0,245/-0,254	0,102/0,102
2	$q_{1i}$	-0,245/-0,254	0,102/0,102	0,45/0,45
3	$Q_{cp,np}^*$	-0,0338/-0,0519	-0,074/-0,109	-0,0098/-0,0098
4	$M_{np}$	0,252/0,266	0/0	0,034/0,034
5	$\gamma$	0,029/0,048	0,195/0,195	0,159/0,159
6	$f_{np}$	0,35/0,35		0,35/0,35

Примечание: в числителе параметры прокатки при коэффициенте трения в очаге деформации неприводной клети  $f_H = 0,25$ ; в знаменателе – при  $f_H = 0,4$ .

Следующий этап работы включал исследование влияния коэффициента трения в очагах деформации приводных клетей на устойчивость процесса и суммарный момент  $\sum M^*$  при прокатке со средней неприводной клетью. Результаты расчетов показаны в табл.4. Как видно, с увеличением  $f_{np}$  суммарный момент  $\sum M^*$  возрастает, так при  $f_{np} = 0,3$  он равен 0,28, а при  $f_{np} = 0,4$  этот момент  $\sum M^* = 0,32$ , т.е. на 12,5% больше. С увеличением  $f_{np}$  продольная устойчивость процесса в первой клети также увеличивается, а в третьей клети несколько снижается. Заметим, что изменение натяжения между клетями представленного комплекса не влияет на нейтральный угол  $\gamma$  в неприводной клети.

Таблица 4 – Влияние коэффициента трения в очагах деформации приводных клетей на продольную устойчивость и суммарный момент

Пара- метры	$f_{np} = 0,3$			$f_{np} = 0,35$			$f_{np} = 0,4$		
	Клети			Клети			Клети		
	I	II	III	I	II	III	I	II	III
1	2	3	4	5	6	7	8	9	10
$q_0$	0	-0,294	0,06	0	-0,239	0,11	0	-0,25	0,1
$q_1$	-0,294	0,06	0,4	-0,239	0,11	0,4	-0,25	0,1	0,4
$Q_{cp,np}^*$	-0,147	-0,102	-0,094	-0,0339	-0,0819	-0,0008	-0,0517	-0,0858	-0,0079
$M^*$	0,242	0	0,038	0,249	0	0,056	0,266	0	0,054

Продолжение таблицы 4

1	2	3	4	5	6	7	8	9	10
$\gamma$	0	0,195	0,151	0,046	0,195	0,141	0,048	0,195	0,14
$f_H$		0,3			0,3			0,3	
$\sum M^*$		0,28			0,305			0,32	

**Выводы.** Таким образом, теоретический анализ показал, что при прокатке в комплексе со средней неприводной клетью суммарный момент несколько меньше по сравнению с обычной прокаткой в трех клетях с натяжением полосы. Изменение коэффициента трения как в приводных клетях, так в контакте холостых валков с полосой влияет на суммарный момент деформации и на продольную устойчивость металла в валках каждой клети.

#### ЛИТЕРАТУРА

- Лохматов А.П. Непрерывная прокатка сортовой стали с использованием неприводных рабочих клетей / А.П.Лохматов, С.М.Жучков, Л.В.Кулаков. – К.: Наукова думка. – 1998. – 106с.
- Жучков С.М. Энергосбережение при непрерывной сортовой прокатке с неприводными рабочими клетями / С.М.Жучков, Л.В.Кулаков, А.П.Лохматов, Э.С.Сивак // Металлургическая и горнорудная промышленность. – 2000. – № 8-9. – С.179-182.
- Лохматов А.П. Методика определения сопротивления, создаваемого неприводной клетью, при непрерывной прокатке сортовой стали с использованием неприводных рабочих клетей / А.П.Лохматов, С.М.Жучков, Л.В.Кулаков // Изв. вузов. Черная металлургия. – 1995. – №6 – С.14-16.
- Максименко О.П. Продольная устойчивость полосы в валках с анализом контактных условий: монография / О.П.Максименко, Д.И.Лобойко, М.К.Измайлова. – Днепродзержинск: ДГТУ, 2016. – 213с.
- Пат. 89747 Україна, МПК B21B 1/22(2006.01). Спосіб прокатування плоских виробів / О.П.Максименко. В.М.Самохвал, М.Є.Нехаєв, Д.І.Лобойко; заявник та патентовласник Дніпродзерж. держ. техн. унів-т. – № u201314742; заявл. 16.12.13; опубл. 25.04.14, Бюл. №8.
- Максименко О.П. Продольная устойчивость процесса прокатки с натяжением полосы при двухзвенной модели трения в очаге деформации /О.П.Максименко, М.К.Измайлова, Д.И.Лобойко // Металлургическая и горнорудная промышленность. – 2015. – №4 – С.73-76.

Поступила в редакцию 18.12.2017.